

# PME-3211 - Mecânica dos Sólidos II

*Aula #25* 

Prof. Dr. Roberto Ramos Jr.

06/12/2023



# Agenda:

- 1. Tensão crítica de Euler e limite de validade (11.3);
- 2. Exemplos para outras condições de apoio (11.4);
- 3. Comprimento efetivo de flambagem (11.4);
- 4. Efeito de excentricidades no carregamento (11.5);
- 5. Fórmula da secante (11.6).



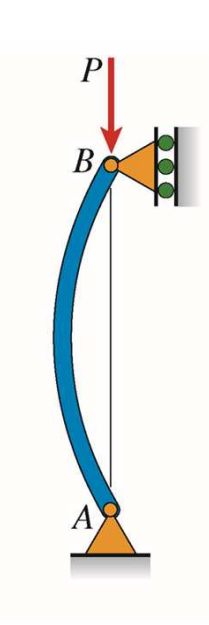
# 1. Tensão crítica de Euler e limite de validade da fórmula (11.3)

Vimos que a carga crítica para uma coluna biapoiada (caso fundamental de flambagem) é dada por:

$$P_{cr} = \frac{\pi^2 EI}{L^2}$$

Desta forma, a tensão normal existente na coluna na iminência de ocorrer a flambagem é:

$$\sigma_{cr} = \frac{P_{cr}}{A} = \frac{\pi^2 EI}{L^2 A} = \frac{\pi^2 Er^2}{L^2} = \frac{\pi^2 E}{(L/r)^2} = \frac{\pi^2 E}{\lambda^2}$$



Onde,  $\lambda = L/r$  é denominada razão de esbeltez.



#### Limite de validade das fórmulas:

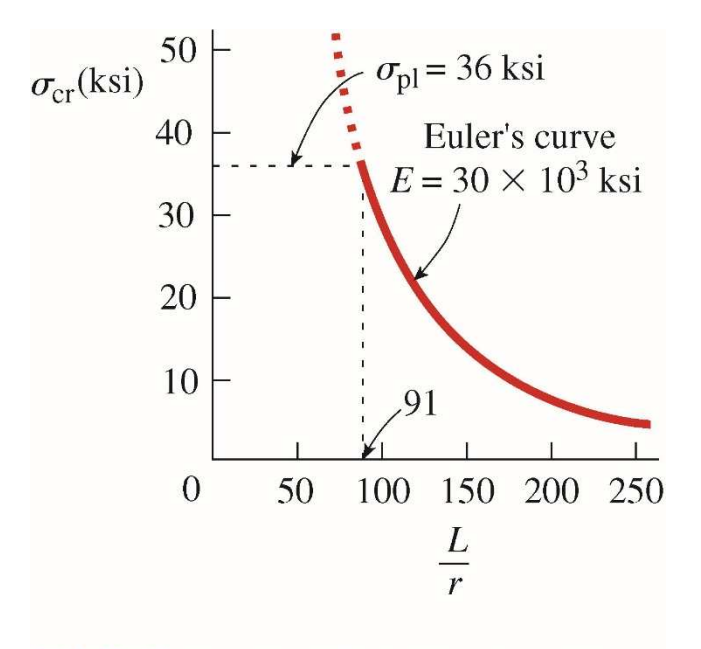


FIG. 11-10 Graph of Euler's curve (from Eq. 11-16) for structural steel with  $E = 30 \times 10^3$  ksi and  $\sigma_{\rm pl} = 36$  ksi

Obs: 36 ksi = 248 MPa 30.000 ksi = 207 GPa



Impondo que: 
$$\sigma_{cr} = \frac{P_{cr}}{A} = \frac{\pi^2 E}{\lambda^2} \le \sigma_{pl}$$

Encontramos: 
$$\lambda \geq \pi \sqrt{\frac{E}{\sigma_{pl}}} = \lambda_{lim}$$

No caso do aço A36: 
$$\lambda_{lim} = \pi \sqrt{\frac{E}{\sigma_{pl}}} = \pi \sqrt{\frac{30000}{36}} \cong 91$$

#### Assim:

- Para colunas com  $\lambda > \lambda_{lim}$ : a flambagem, se ocorrer, ocorre no regime elástico linear e vale a fórmula de Euler;
- Para colunas com  $\lambda < \lambda_{lim}$ : a flambagem, se ocorrer, ocorre no regime elasto-plástico e não vale a fórmula de Euler.



### 2. Exemplos para outras condições de apoio (11.4)

Vimos que, para barras com extremidades biapoiadas, os modos de flambagem são da forma:

$$v(x) = A_4 sen(kx)$$

E as cargas críticas são obtidas por meio da equação característica que, nesse caso, é dada por:

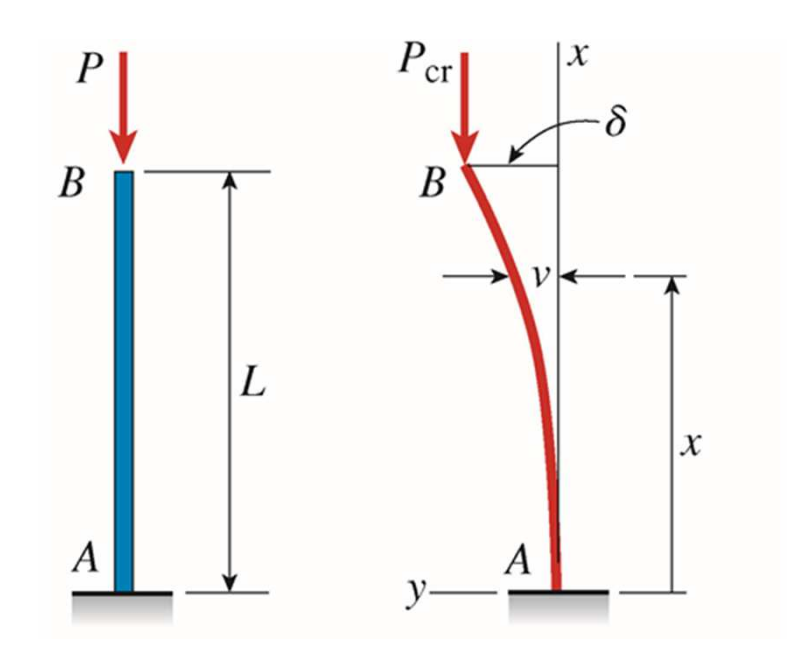
$$sen(kL) = 0 \Leftrightarrow kL = n\pi, \qquad n = 1,2,3,...$$

$$k^{2} = \frac{P}{EI} = \frac{n^{2}\pi^{2}}{L^{2}} \iff P_{cr} = \frac{n^{2}\pi^{2}EI}{L^{2}}$$
  $P_{cr,1} = \frac{\pi^{2}EI}{L^{2}}$ 

Nesta aula veremos as condições de contorno associadas a vigascoluna com outras condições de apoio...



### 2.1. Viga-Coluna Engastada-Livre



C. Contorno:

$$v(0) = 0$$

$$v'(0) = 0$$

$$v''(L) = 0$$

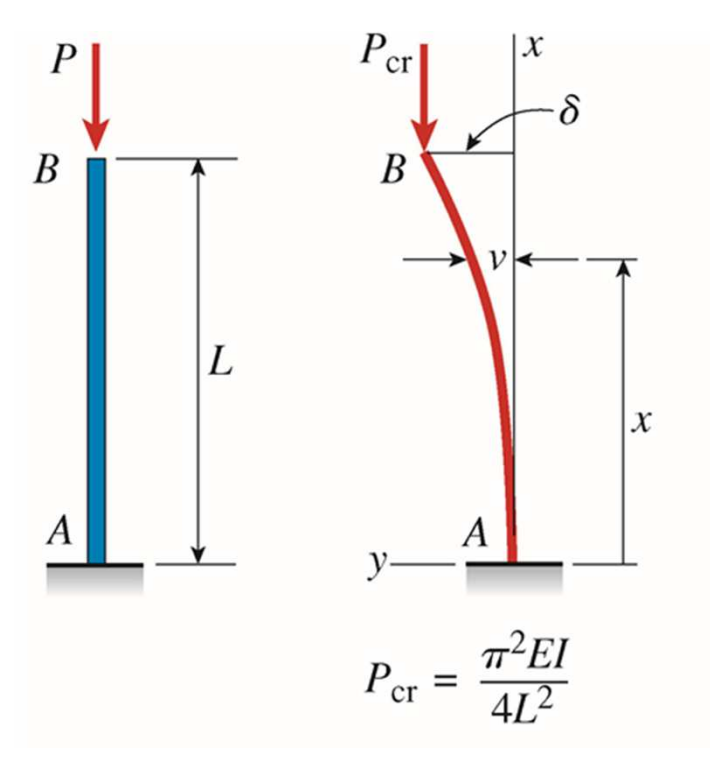
$$v^{\prime\prime\prime}(L) + k^2 v^{\prime}(L) = 0$$

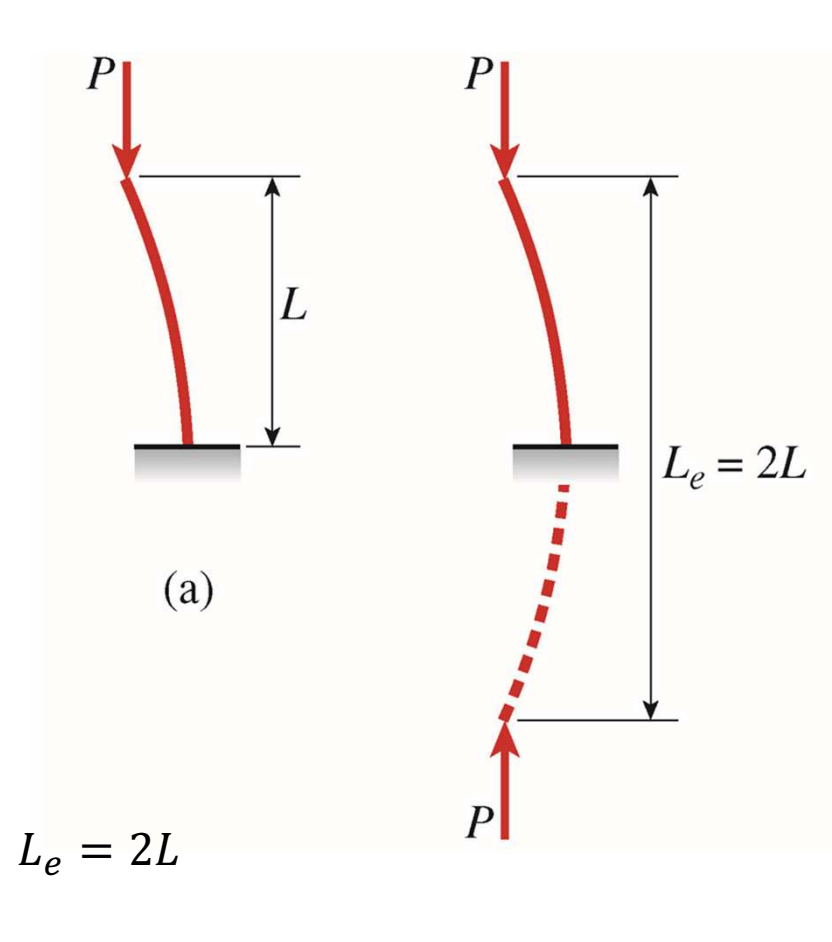
$$V(x) = \frac{dM(x)}{dx} + P\frac{dv(x)}{dx} = EIv'''(x) + Pv'(x) = EI(v'''(x) + k^2v'(x))$$



06/12/2023

# Escola Politécnica da Universidade de São Paulo Departamento de Engenharia Mecânica

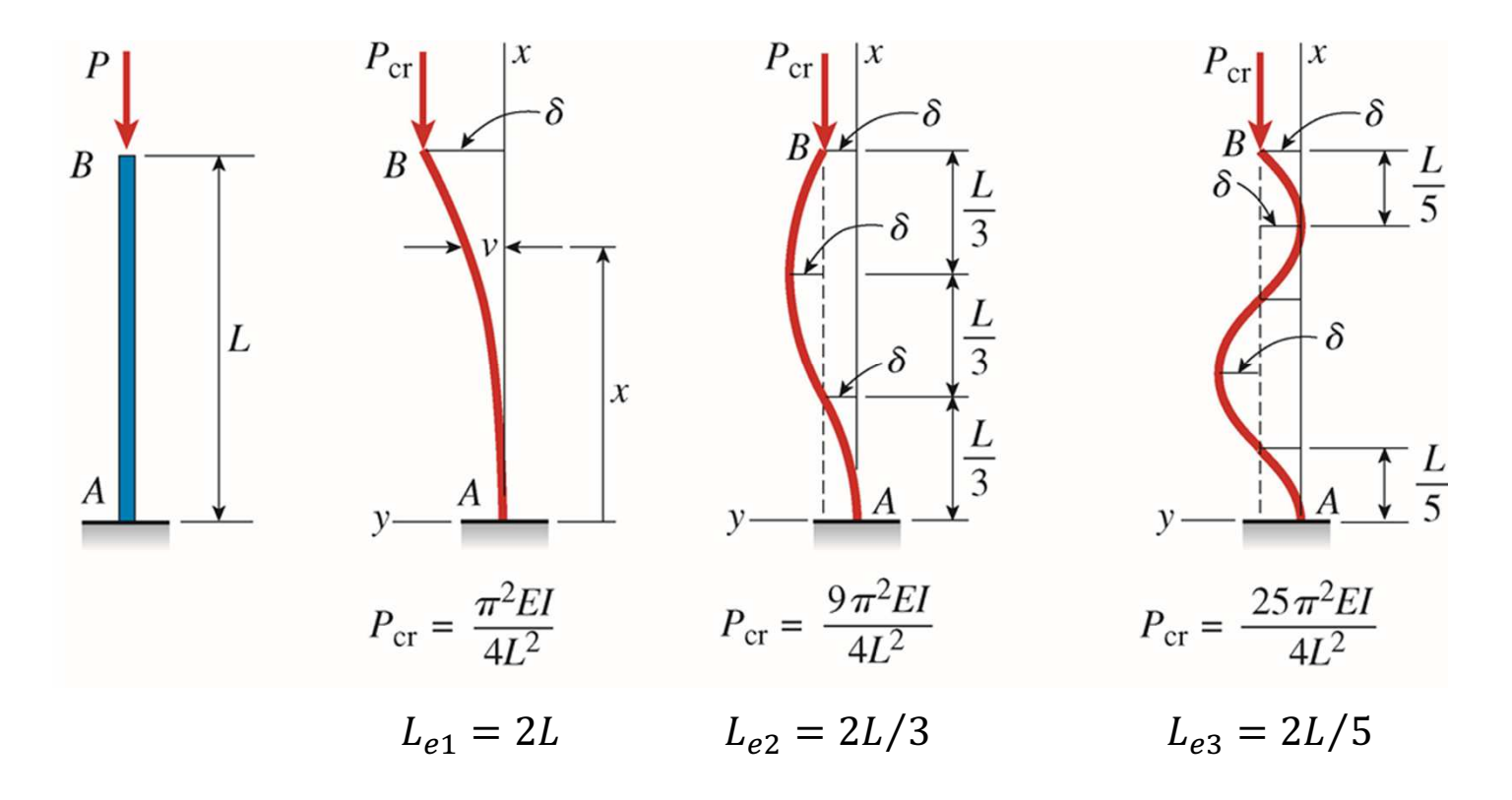




$$P_{cr} = \frac{\pi^2 EI}{4L^2} = \frac{\pi^2 EI}{L_e^2} \qquad \Box$$

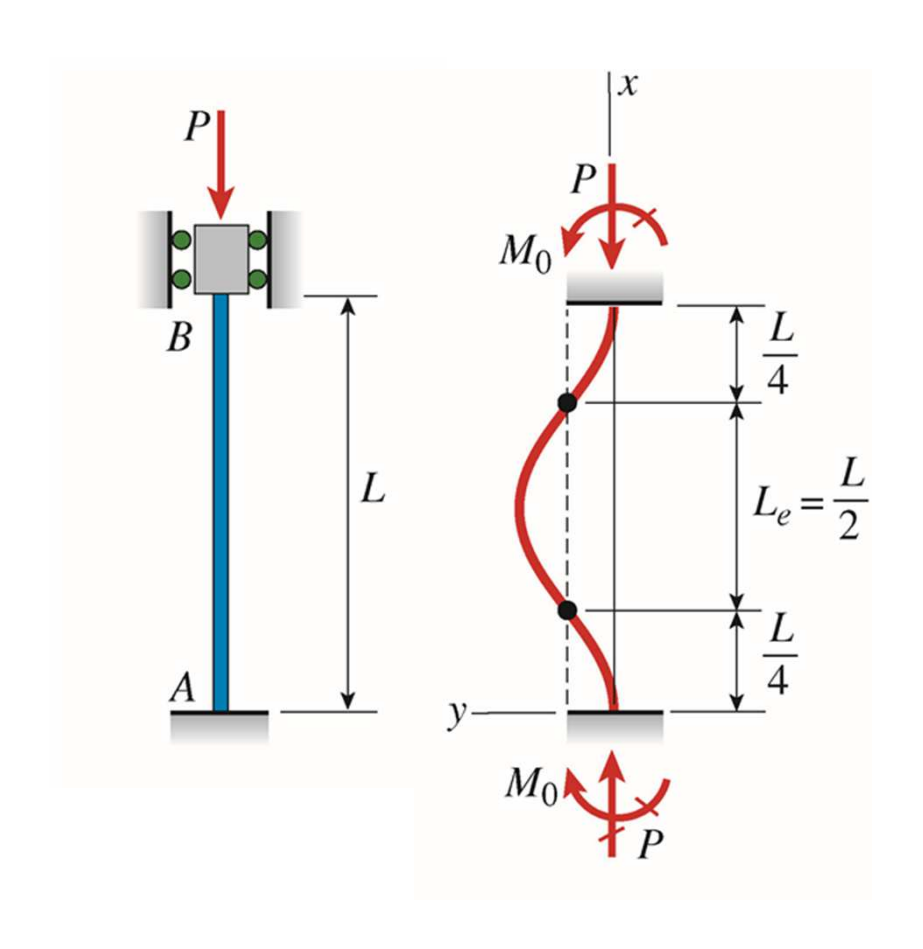


Embora o conceito de comprimento efetivo seja geralmente aplicado para o 1º modo de flambagem (que fornece a menor carga crítica), podemos utilizar a mesma ideia para outros modos:





# 2.2. Viga-Coluna Bi-Engastada



### C. Contorno:

$$v(0) = 0$$

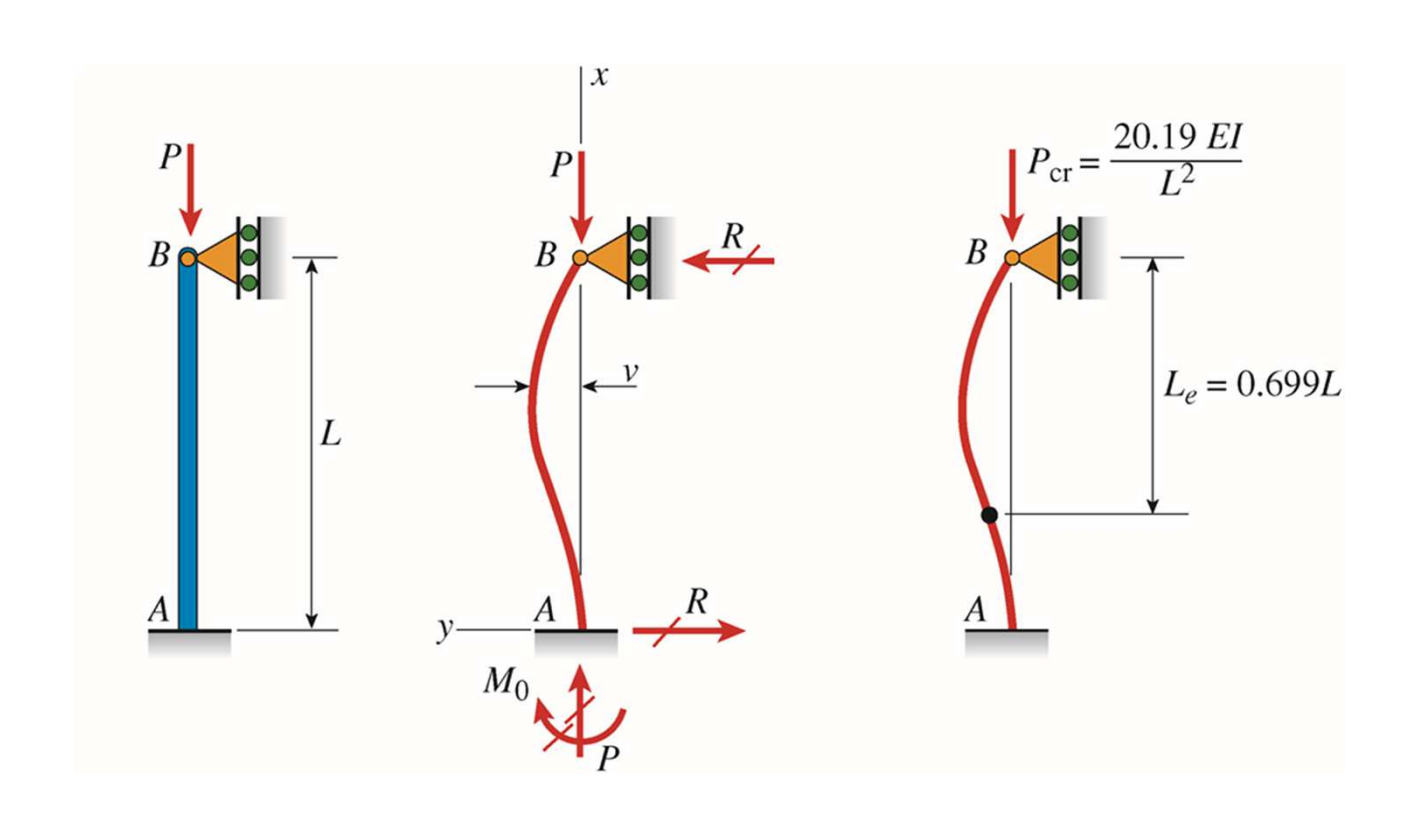
$$v'(0) = 0$$

$$v(L) = 0$$

$$v'(L)=0$$



# 2.3. Viga-Coluna Engastada-Apoiada



#### C. Contorno:

$$v(0) = 0$$

$$v'(0) = 0$$

$$v(L) = 0$$

$$v''(L) = 0$$



### 3. Comprimento efetivo de flambagem (11.4)

Como vimos dos exemplos anteriores, a fórmula de Euler também pode ser utilizada para outras condições de apoio, desde que seja utilizado o <u>comprimento efetivo de flambagem</u> ao invés do comprimento da vigacoluna propriamente dito. Assim:

$$P_{cr} = \frac{\pi^2 EI}{L_e^2}$$

Onde:

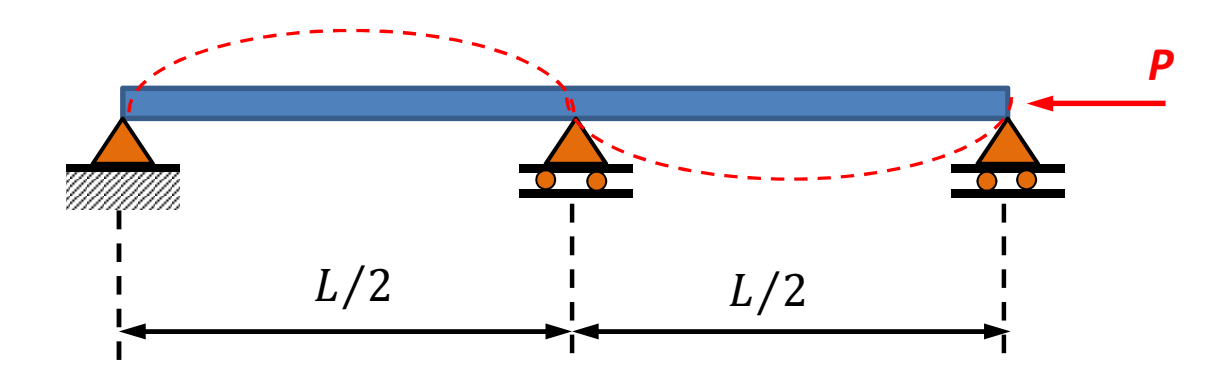
 $L_e$  = comprimento efetivo = distância entre pontos de curvatura nula.



(a) Pinned-pinned column	(b) Fixed-free column	(c) Fixed-fixed column	(d) Fixed-pinned column
$P_{\rm cr} = \frac{\pi^2 EI}{L^2}$	$P_{\rm cr} = \frac{\pi^2 EI}{4L^2}$	$P_{\rm cr} = \frac{4\pi^2 EI}{L^2}$	$P_{\rm cr} = \frac{2.046 \ \pi^2 EI}{L^2}$
		$L_e$	$L_e$
$L_e = L$	$L_e = 2L$	$L_e = 0.5L$	$L_e = 0.699L$



Qual seria a carga crítica da viga contínua com três apoios, de comprimento total *L*, indicada abaixo?



Resp.: 
$$P_{cr} = \frac{\pi^2 EI}{L_e^2} = \frac{\pi^2 EI}{(L/2)^2} = \frac{4\pi^2 EI}{L^2}$$

(corresponde a  $2^{\underline{a}}$  carga crítica, e ao  $2^{\underline{a}}$  modo de flambagem, de uma viga simplesmente apoiada e de comprimento L).



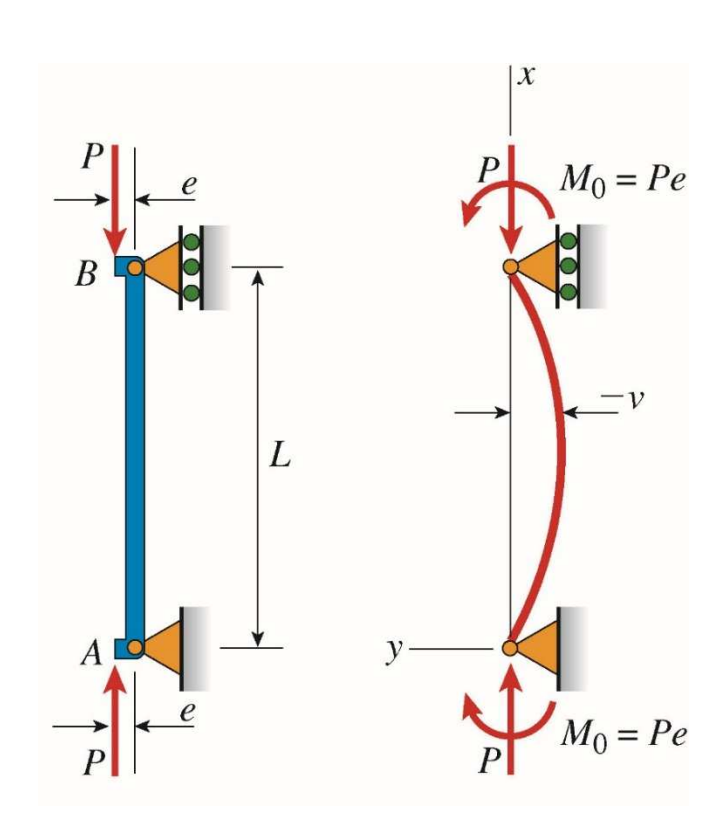
### 4. Efeito de excentricidades no carregamento (11.5)

Até o momento analisamos vigas-coluna em condições "ideais" em que a linha de ação do carregamento axial de compressão passa exatamente pelos centroides das seções transversais, de tal forma que as colunas permanecem retas até que os carregamentos críticos sejam atingidos.

Na prática, esta situação "ideal" não existe, pois sempre existe algum tipo de excentricidade ou de imperfeição da estrutura. Veremos, agora, qual é o efeito de uma possível <u>excentricidade</u> na aplicação da carga axial de compressão no comportamento da estrutura.



### Solução pela Relação Momento Fletor × Curvatura:



$$M(x) = EIv''(x) = M_0 + P(-v(x))$$

$$EIv''(x) = Pe - Pv(x)$$

$$v''(x) + \frac{P}{EI}v(x) = \frac{Pe}{EI}$$

$$v''(x) + k^2 v(x) = k^2 e$$

Onde: 
$$k^2 = \frac{P}{EI}$$



$$v''(x) + k^2 v(x) = k^2 e$$

A solução da E.D.O. acima é dada por:  $v(x) = v_h(x) + v_p(x)$ 

Onde: 
$$v_h(x) = Asen(kx) + Bcos(kx)$$
$$v_p(x) = e$$

Logo: 
$$v(x) = Asen(kx) + Bcos(kx) + e$$

Cond. Contorno:

$$v(0) = 0 \iff B + e = 0$$

$$v(L) = 0 \Leftrightarrow Asen(kL) + Bcos(kL) + e = 0$$



Resultam:

$$B = -e$$

$$A = -e \frac{(1 - \cos(kL))}{sen(kL)} = -e \frac{\left(1 - \cos^2\left(\frac{kL}{2}\right) + sen^2\left(\frac{kL}{2}\right)\right)}{2sen\left(\frac{kL}{2}\right)cos\left(\frac{kL}{2}\right)} = -e \cdot tan\left(\frac{kL}{2}\right)$$

$$v(x) = Asen(kx) + Bcos(kx) + e$$

$$v(x) = -e\left[\tan\left(\frac{kL}{2}\right)\operatorname{sen}(kx) + \cos(kx) - 1\right]$$

Assim, para uma coluna com carga axial de compressão (P) e excentricidade (e) conhecidas, podemos determinar a deflexão em qualquer ponto do eixo central.



Deflexão máxima: para o 1º modo de flambagem, a deflexão máxima irá ocorrer a meio vão (em x=L/2) e será dada, em valor absoluto, por:

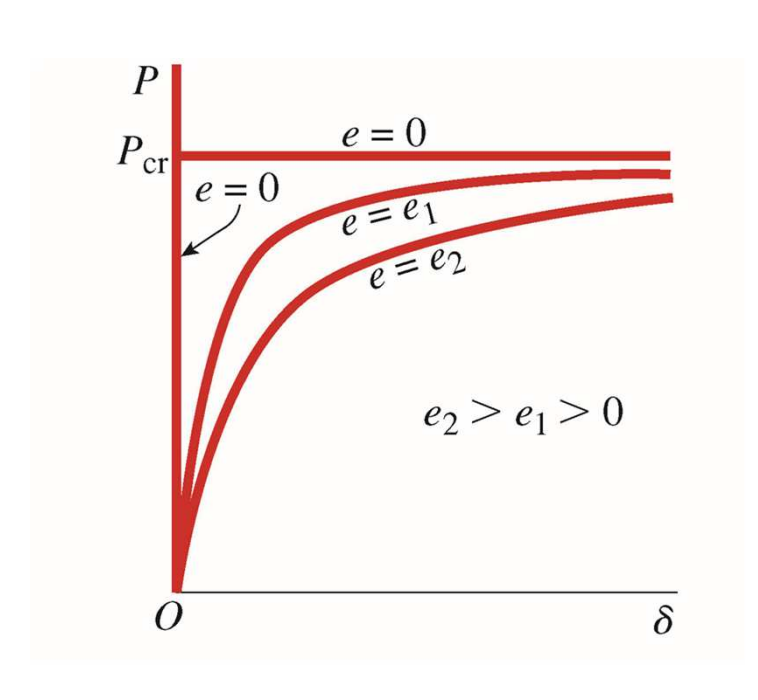
$$\delta = -v(L/2) = e\left[\tan\left(\frac{kL}{2}\right) \operatorname{sen}\left(\frac{kL}{2}\right) + \cos\left(\frac{kL}{2}\right) - 1\right]$$

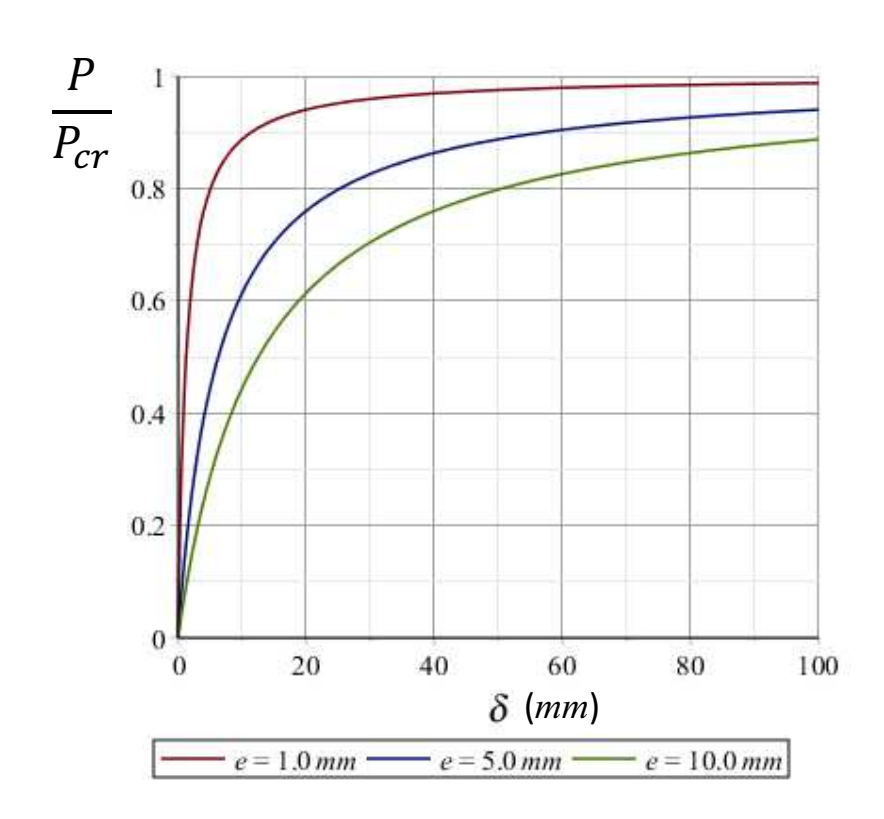
$$\delta = e \left[ sec \left( \frac{kL}{2} \right) - 1 \right]$$

Mas: 
$$k = \sqrt{\frac{P}{EI}} = \sqrt{\frac{P\pi^2}{P_{cr}L^2}} = \frac{\pi}{L} \sqrt{P/P_{cr}}$$
  $kL = \pi \sqrt{P/P_{cr}}$ 

$$\delta = e \left[ sec\left(\frac{\pi}{2}\sqrt{P/P_{cr}}\right) - 1 \right] \qquad \frac{P}{P_{cr}} = \left[ \frac{2}{\pi} arccos\left(\frac{e}{e + \delta}\right) \right]^2$$



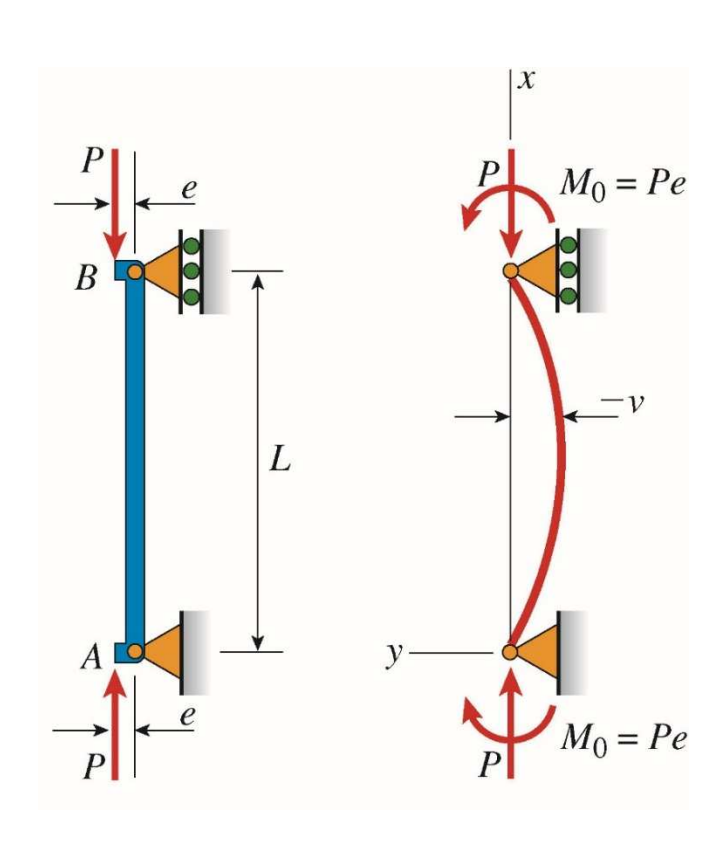




Note que a deflexão máxima aumenta à medida que *P* aumenta, mas a relação Força × Deflexão não é linear. Desta forma, não é possível usar o Princípio da Superposição para calcular deflexões causadas por mais de um carregamento.



O momento fletor máximo atuante na viga-coluna (no caso em tela) será:



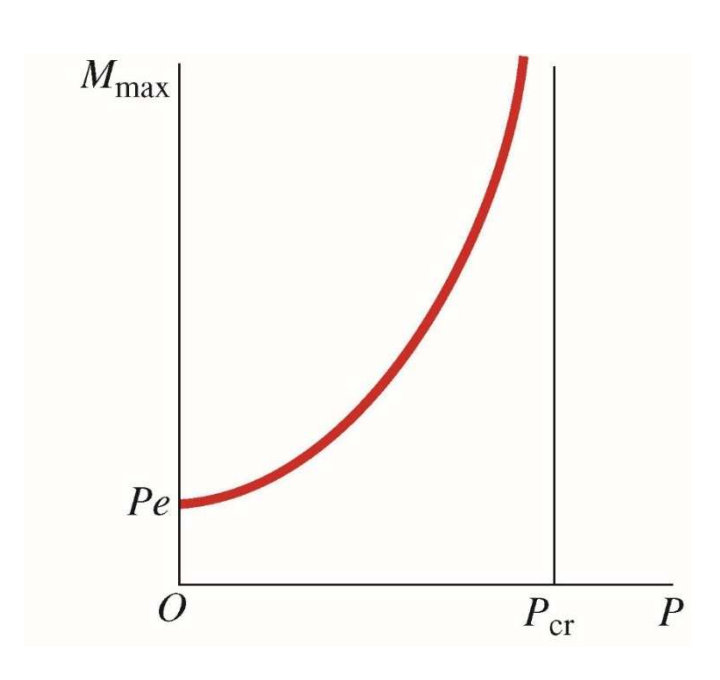
$$M_{m\acute{a}x} = P(e + \delta)$$

$$M_{m\acute{a}x} = Pe\left[sec\left(\frac{kL}{2}\right)\right]$$

Como: 
$$\frac{kL}{2} = \frac{\pi}{2} \sqrt{P/P_{cr}}$$

Virá: 
$$M_{m\acute{a}x} = Pe\left[sec\left(\frac{\pi}{2}\sqrt{\frac{P}{P_{cr}}}\right)\right]$$





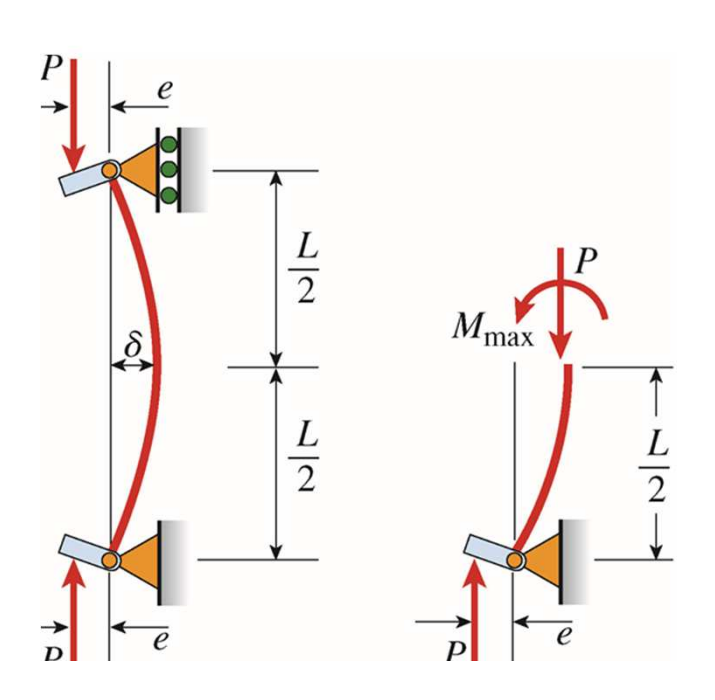
$$M_{m\acute{a}x} = Pe \left[ sec \left( \frac{\pi}{2} \sqrt{\frac{P}{P_{cr}}} \right) \right]$$

#### Notas:

- 1. Para  $P/P_{cr} \ll 1$ , o momento máximo é praticamente igual a Pe e o efeito das deflexões é desprezível;
- 2. À medida que P aumenta, o momento fletor máximo aumenta de forma não linear com o aumento de P e, teoricamente, tende a "infinito" quando  $P \rightarrow P_{cr}$ ;
- 3. Devemos, lembrar, contudo que as equações foram deduzidas para pequenas deflexões (por conta da linearização da curvatura), e começam a apresentar desvios quando  $P \rightarrow P_{cr}$ , não podendo ser empregadas nestes casos (embora o comportamento geral seja similar).



## 5. Fórmula da Secante (11.6)



A máxima tensão de compressão que atua em uma viga-coluna submetida a uma carga excêntrica é (em valor absoluto):

$$|\sigma_{m\acute{a}x}| = \frac{P}{A} + \frac{M_{m\acute{a}x}}{I}c$$

Onde  $M_{m\acute{a}x}$  é o momento fletor máximo atuante na viga-coluna, visto anteriormente e c é a distância do centroide até a fibra mais distante situada do lado côncavo.



$$M_{m\acute{a}x} = P.e.sec\left(\frac{\pi}{2}\sqrt{P/P_{cr}}\right)$$

Mas: 
$$\frac{P}{P_{cr}} = \frac{PL^2}{\pi^2 EI} = \frac{PL^2}{\pi^2 E(Ar^2)} = \frac{1}{\pi^2} \frac{P}{EA} \left(\frac{L}{r}\right)^2 = \frac{1}{\pi^2} \frac{P}{EA} (\lambda)^2$$

Logo: 
$$M_{m\acute{a}x} = P.e.sec\left(\frac{\lambda}{2}\sqrt{P/EA}\right)$$

Assim: 
$$|\sigma_{m\acute{a}x}| = \frac{P}{A} + \frac{M_{m\acute{a}x}}{I}c = \frac{P}{A} + \frac{Pec}{I}sec\left(\frac{\lambda}{2}\sqrt{P/EA}\right)$$

$$|\sigma_{m\acute{a}x}| = \frac{P}{A} + \frac{Pec}{Ar^2} sec\left(\frac{\lambda}{2}\sqrt{P/EA}\right) = \frac{P}{A} \left[1 + \frac{ec}{r^2} sec\left(\frac{\lambda}{2}\sqrt{P/EA}\right)\right]$$

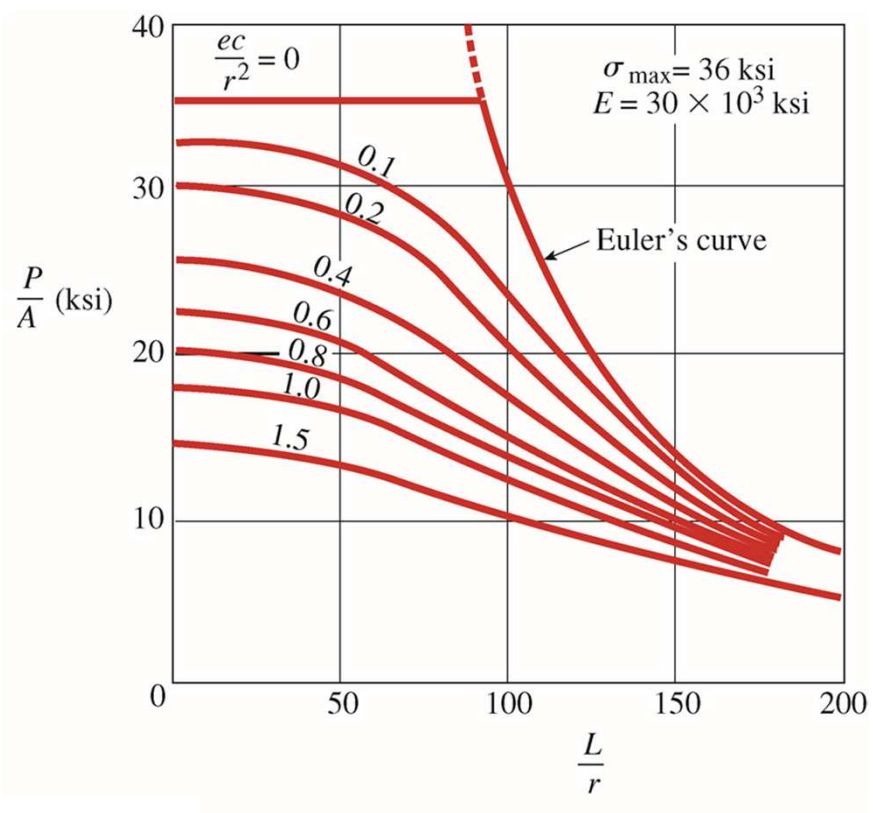


$$|\sigma_{m\acute{a}x}| = \frac{P}{A} \left[ 1 + \frac{ec}{r^2} sec\left(\frac{\lambda}{2} \sqrt{P/EA}\right) \right]$$

A fórmula da secante, dada acima, fornece a máxima tensão de compressão na coluna como função da tensão de compressão média (P/A), do módulo de Young do material, e de dois adimensionais:

- A razão de esbeltez da coluna:  $\lambda = L/r$
- A razão de excentricidade do carregamento:  $ec/r^2$ .





**FIG. 11-27** Graph of the secant formula (Eq. 11-59) for  $\sigma_{\text{max}} = 36$  ksi and  $E = 30 \times 10^3$  ksi

$$|\sigma_{m\acute{a}x}| = \frac{P}{A} \left[ 1 + \frac{ec}{r^2} sec\left(\frac{\lambda}{2} \sqrt{P/EA}\right) \right]$$



541p.

# Escola Politécnica da Universidade de São Paulo Departamento de Engenharia Mecânica

# Referências:

[1] Gere, J.M., Goodno, B.J. Mecânica dos Materiais – Tradução da 7º edição norte-americana. Cengage Learning, 2010, 860p, Cap. 11 (seção 11.3) [2] Timoshenko, S.P., Gere, J.M. Theory of Elastic Stability. McGraw-Hill, 1961,